

لشکر

۲۰۱۴

دانشگاه معلوم و فنون حوزه‌های

پایان‌نامه‌ای اقداریم کارشناسی ارشد

(رشته آنالیز سیمی)

عنوان

طرافی ستون استخراج جایع - جایع آنلاین

و مقایسه در لپ‌تاپ‌تری با استجایع تجربی

(استاد راهنمایی)

آنالیز دسترسی استانی

کمیت نسبت

درصد خطا هر سنت

مرداد ۱۳۷۸

۴۱۰

### چکیده :

در این پژوهه نحوه طراحی ستونهای استخراج مایع - مایع آکنده ارائه شده است . برای پیش بینی انتقال جرم داخل برج ، فاز پیوسته توسط مدل اختلاط محوری مدل شده و قطر قطرات در فاز پراکنده ، یکسان در نظر گرفته میشود . برای محاسبه سرعت خوشی قطرات از مدل النی استفاده شده و سپس با استفاده از روابط ارائه شده توسط کلی و تربیمال ، سرعت حد قطرات محاسبه خواهد شد . ضرایب انتقال جرم داخل قطره به کمک مدل ارائه شده توسط هندلوس و بارون بدست می آیند . در ادامه یک نرم افزار کامپیوتری براساس مدلهاي ادغام شده هیدرو دینامیک و انتقال جرم برای طراحی ستونهای استخراج مایع - مایع آکنده ارائه شده است . در این نرم افزار طول و قطر برج براساس شرایط عملیاتی محاسبه خواهند شد . نهایتاً پیش بینی مدل با نتایج تجربی مورد مقایسه قرار گرفته است .

۸۱۶۲

### **Abstract:**

This project deals with design of Liquid - Liquid Packed Extraction Columns. For prediction of mass transfer in column, continuous phase is modeled using Axial Dispersion model and the diameter of droplets is assumed to be equal. Olney's model is used for calculation of droplet's slip velocity and then relations offered by Klee and Treybal are used to calculate droplet's terminal velocity. Mass transfer coefficients in droplets is obtained using Handlos- Baron model.

Going on the project, a computer software is presented for Liquid - Liquid Packed Extraction design based on mentioned hydrodynamic & mass transfer models. This software calculates the height and diameter of column vs operating conditions. Finally, the prediction of model is compared with experimental results.

## فهرست رئوس مطالب

### فصل اول: کلیات

### فصل دوم: هیدرودینامیک

۱-۱-۱- ماند در ستونهای استخراج مایع مایع آکنده

۱-۱-۲- طبقه بندی ماند در ستونهای آکنده

۱-۲-۱-۲- اندازه گیری ماند

۱-۲-۳- سرعت مشخصه و ماند قبل از طغیان

۱-۲-۴- ماند در نقطه طغیان

۱-۲-۵- تاثیر جهت انتقال ماده حل شونده بر ماند

۱-۲-۶- اثر انتقال ماده حل شونده بر اندازه قطره

۱-۲-۷- تاثیر توزیع اندازه قطرات

۲-۲- سرعتهای طغیان در ستونهای آکنده

۲-۲-۱- شدت‌های طغیان تحت شرایط انتقال ماده حل شونده

۲-۳- مدل بارنی و میزراهمی

### فصل سوم: انتقال جرم

۳-۱- تئوری انتقال جرم

۳-۱-۱- شار موضعی انتقال جرم

۳-۲- مدلسازی رفتار فاز

۳-۲-۱- معادلات مدل جریان پلاگی

۳-۲-۲- معادلات مدل جریان اختلاط کامل

۳-۲-۲-۱- پارامترهای مدل

۳-۲-۳- مدل جریان غیر ایده آل

۳-۲-۳-۱- جریان پلاگی با اختلاط محوری

۳-۲-۳-۱-۱- پارامترهای مدل پراکندگی

۳-۲-۳-۲-۱- اندازه گیری ضرایب پراکندگی محوری

۳-۳- انتقال یک جهته و متقابل با سیستم مخلوط شدن جزئی دو تائی

۴- مدل افزایش مقیاس برای جریان قطره ای فاز پیوسته

۱-۴-۳- تشریح داده های انتقال جرم

۱-۱-۴-۳- اندازه قطره در ستونهای آکنده

۲-۱-۴-۳- سطح تماس برای انتقال جرم

۳-۱-۴-۳- پیش بینی شدت انتقال جرم

۲-۴-۳- افزایش مقیاس قطر برج

۳-۴-۳- هیدرودینامیک و انتقال جرم قبل از اندازه بحرانی آکنه

۵-۳- اختلاط محوری در ستونهای آکنده

#### فصل چهارم: دینامیک قطره در سیستمهای مایع مایع

۱-۴- مطالعه سیستمهای قطره منفرد

۱-۱-۴- تشکیل قطره در نازل

۲-۱-۴- شکل قطرات تشکیل شده در نازل

۳-۱-۴- شکلهای قطره متحرک

۴-۱-۴- نوسانات قطره و سیرکولاسیون داخلی

۵-۱-۴- اثرات بین سطحی در مرز قطره - مایع

۶-۱-۴- مکانیک جریان سیال در اطراف قطره متحرک

۷-۱-۴- سرعت قطرات مایع

۸-۱-۴- دینامیک قطره در یک فاز مداوم با ویسکوزیته کم

۹-۱-۴- سرعت قطرات در یک مایع با ویسکوزیته زیاد

۱۰-۱-۴- تاثیر عوامل فعال کننده سطحی بر قطرات متحرک

۲-۴- مطالعه قطرات مرکب

۱-۲-۴- مطالعه اندازه قطره در برجهای پر شده

۳-۴- عکس العمل متقابل قطره ناشی از اثرات جسم حل شونده

#### فصل پنجم: مدلسازی ستون استخراج مایع مایع آکنده و مقایسه مدل با

(چهار)

## نتایج تجربی

۱-۱-۵- هیدرودینامیک

۱-۱-۱-۵- توزیع اندازه قطرات

۱-۲-۱-۵- توزیع سرعت قطره

۱-۳-۱-۵- مدل الگی

۲-۱-۵- انتقال جرم

۲-۱-۱-۵- شرح محاسبات و فلوچارت برنامه کامپیوتری

۲-۱-۱-۱-۵- محاسبه ماند در نقطه طغیان

۲-۱-۱-۲-۵- محاسبه سرعت حد و سرعت خرسنی

۲-۱-۱-۳-۵- محاسبه قطر ستون

۲-۱-۱-۴-۵- محاسبه ضرایب انتقال جرم

۲-۱-۱-۵-۵- محاسبه غلظت ماده منتقل شونده در هر ارتفاع از ستون

۲-۱-۳-۵- مقایسه مدل با نتایج تجربی

۲-۱-۳-۱-۵- ماند در نقطه طغیان

۲-۱-۳-۲-۵- تاثیر جهت انتقال ماده حل شونده بر ماند

۲-۱-۳-۳-۵- تاثیر قطر ستون بر انتقال جرم

۲-۱-۳-۴-۵- انتقال جرم در سیستمهای مخلوط شدن جزئی

نتیجه گیری

فهرست منابع و موارد

## ضمایم

۱- مشخصات ستونهای طراحی شده توسط نرم افزار کامپیوتری که مورد مقایسه با

ستونهای تجربی قرار گرفته اند.

۲- فهرست علائم و اختصارات

۳- برنامه کامپیوتری

۴- واژه نامه

( پنج )

## فهرست شکلها

- ۱-۲: نمودار افت فشار برای سیستم بنزن - آب با حلقه های راشیگ ۱ سانتیمتری.
- ۲-۲: نمودار تجربی ماند بر حسب سرعت فاز پراکنده در هنگام طغیان و قبل از آن.
- ۳-۲: رابطه هو - کینتner برای سرعت حد قطرات مایع در محیط نامحدود مایع.
- ۴-۲: روابطی برای ماند در زمان طغیان در ستونهای آکنده.
- ۵-۲: نمودار داده های ماند که تاثیر انتقال جرم را بر ماند نشان میدهد.
- ۶-۲: روابط تعمیم یافته برای سرعتهای محدود کننده در ستونهای آکنده.
- ۱-۳: تاثیر اندازه آکنده بر عملکرد استخراج (سیستم تولوئن - دی اتیل آمین - آب).
- ۲-۳: تاثیر قطر برج بر عملکرد استخراج (سیستم تولوئن - دی اتیل آمین - آب).
- ۳-۳: دیدگاه عمومی از عملکرد انتقال جرم موضعی.
- ۴-۳: منحنی تعادل و ضرایب انتقال جرم.
- ۵-۳: مدل جريان پلاگ.
- ۶-۳: مدل جريان اختلاط کامل.
- ۷-۳: انتقال جرم بين دو فاز در ستون استخراج مایع - مایع.
- ۸-۳: شار نفوذ ادى در جهت محور ستون در مدل اختلاط محوري.
- ۹-۳: تاثیر اختلاط معکوس بر راندمان ستون.
- ۱۰-۳: تاثیر شدت آشفتگی سیستم بر راندمان استخراج.
- ۱۱-۳: پروفایلهای واقعی غلظت در هر فاز.
- ۱۲-۳: تاثیر اختلاط محوري بر نيروي محركه.
- ۱۳-۳: تزریق مواد ردیاب برای اندازه گیری ضرایب اختلاط محوري.

- ۳-۱۴: دیاگرام غلظت در مختصات لگاریتمی.
- ۳-۱۵: روابط تعمیم یافته بر اساس  $k_{\text{c}} \cdot a$  تحت شرایط انتقال با نفوذ متقابل.
- ۳-۱۶: روابط تعمیم یافته بر اساس  $k_{\text{c}} \cdot a$  تحت شرایط انتقال با نفوذ متقابل.
- ۳-۱۷: تصحیح داده های ستون آکنده برای سیستم کروزین - استن - آب.
- ۳-۱۸: روابط تعمیم یافته برای انتقال جرم در ستونهای آکنده.
- ۳-۱۹: روابط تعمیم یافته برای انتقال جرم در ستونهای آکنده.
- ۳-۲۰: اختلاط محوری در فاز پراکنده.
- ۳-۲۱: رابطه عدد پکلت فاز پیوسته با متغیرهای جریان.
- ۴-۱: ارتباط شکل قطره با نوع نازل.
- ۴-۲: سرعت حد قطره بر حسب قطر تعادلی قطره.
- ۴-۳: انحراف قطره از حالت طبیعی.
- ۴-۴: عدد رینولدز بر حسب  $28/2$
- ۴-۵: شکلهای قطرات با اندازه های مختلف متحرک در محیطهای با ویسکوزیته کم و ویسکوزیته زیاد.
- ۴-۶: منحنی ضریب کشش بر حسب عدد رینولدز برای مایعات آلی در حال سقوط در آب.
- ۴-۷: نمودار روابط تعمیم یافته برای هر دو ناحیه ۱ و ۲.
- ۴-۸: روابط اعداد رینولدز ماکزیمم.
- ۴-۹: ارتباط قطر ماکزیمم قطره با گروه خواص فیزیکی.
- ۴-۱۰: ارتباط سرعت حد ماکزیمم با گروه خواص فیزیکی.
- ۵-۱: نمایش المانی از ستون استخراج، بمنظور نوشتمن موازنه جرم

۲-۵: فلوچارت برنامه کامپیووتری

۳-۵: مقایسه نتایج تجربی با مدل در مورد ماند در نقطه طغیان.

۴-۵: مقایسه نتایج تجربی با مدل، در مورد تاثیر جهت انتقال ماده حل شونده بر ماند.

۵-۵: مقایسه نتایج تجربی با مدل، در مورد تاثیر قطر ستون بر انتقال جرم.

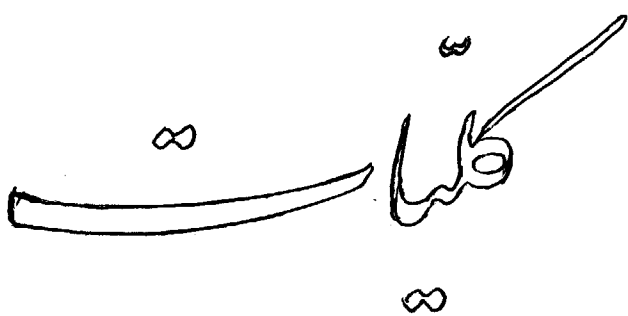
۶-۵: مقایسه نتایج تجربی با مدل، در مورد انتقال یک جهته و متقابل، با سیستم اختلاط

جزئی دوتائی

## فهرست جداول

- ۱-۱ : مقادیر ثوابت در رابطه (۱-۱۶).
- ۱-۲ : خلاصه روابط موجود برای تخمین ماند.
- ۱-۳ : مقایسه داده های اندازه قطرات تحت شرایط انتقال حل شونده و عدم انتقال حل شونده.
- ۱-۴ : خلاصه روابط موجود برای تخمین سرعتهاي طغيان در ستونهاي آكende.
- ۱-۵ : مقادير ثوابت رابطه (۱-۳۲).
- ۲-۱ : خلاصه سیستمهاي مهمی که در ستونهاي آكnde مورد مطالعه قرار گرفته اند.
- ۲-۲ : مقادير ثابتها در روابط (۲-۶۴) و (۲-۶۳) که توسط اسمیت و بكمن گزارش شده اند.
- ۳-۱ : مشخصات ستونهاي طراحی شده توسط نرم افزار کامپیوتري که مورد مقایسه با نتایج تجربی قرار گرفته اند.
- ۳-۲ : مشخصات ستونهاي طراحی شده توسط نرم افزار کامپیوتري که مورد مقایسه با نتایج تجربی قرار گرفته اند.
- ۳-۳ : مشخصات ستونهاي طراحی شده توسط نرم افزار کامپیوتري که مورد مقایسه با نتایج تجربی قرار گرفته اند.
- ۳-۴ - مشخصات ستونهاي طراحی شده توسط نرم افزار کامپیوتري که مورد مقایسه با نتایج تجربی قرار گرفته اند.

## فصل اول :



استخراج مایع - مایع ، بعنوان یک فرآیند جداسازی قبل از فرآیندهای جداسازی دیگر بکار می‌رود که دلیل انتخاب آن میتواند گرانقیمت بودن هزینه عملیاتی دیگر فرآیندها و یا عدم وجود یک فرآیند جانشین برای استخراج باشد. پس از اینکه استخراج مایع - مایع بعنوان فرآیند جداسازی انتخاب شد، مشکل اصلی انتخاب حلال خواهد بود. اینکار فرایندی طولانی و پر هزینه است که ممکن است نیازمند آزمایش‌های زیادی باشد. خواص حلال مناسب به دو بخش تقسیم می‌شود :

- ۱- خواصی که برای جداسازی لازم و ضروری اند.
- ۲- خواصی که مطلوب هستند و فرآیند جداسازی را بهبود بخشیده و یا آنرا بصرفه نمایند.

ابتدا خواص ضروری حلال را بررسی می‌کنیم :

- الف ) اینکه حلال دلخواه برای مواد استخراج شونده مورد نظر در مقایسه با مواد دیگر موجود در مخلوط مایع، قابل انتخاب باشد.
- ب ) قابلیت بازیافت حلال (solvent) از ماده حل شونده (solute) بعد از عمل استخراج .

- ج ) دانسیته حلال بایستی مشخصا با دانسیته رفینیت (raffinate) تفاوت داشته باشد تا بتوان پس از تماس، آنها را از یکدیگر جدا نمود.
- د ) پایداری حلال، وقتی با فاز رفینیت در تماس است.

- خواصی که مطلوبند ولی کاملا برای جداسازی ضروری نیستند عبارتند از :
- الف ) توزیع مطلوب ماده حل شونده بین حلال و فاز رفینیت
- ب ) حلالیت زیاد ماده حل شونده در حلال
- ج ) حلالیت کم حلال در فاز رفینیت
- د ) ویسکوزیته کم (برای بهبود شدت انتقال جرم)

ه) خورنده‌گی کم

و) فشار بخار کم (برای کاهش پر ت محصول)

ز) نقطه انجماد پائین

ح) شعله وری کم

ط) سمی بودن جزئی

ی) پائین بودن هزینه

وقتی حلال انتخاب شد، نسبت جريان حلال به فاز رفinitت باید مشخص شود. اين امر نيازمند يك عمل ابعينه سازی است که مشخص ميکند تعادل صحیح در اثر افزایش جريان حلال که باعث

۱- قطورتر شدن ستون استخراج و

۲- کاهش ارتفاع ستون استخراج و

۳- افزایش هزینه بازیافت ماده حل شونده در غلظتهاي کم، ميشود در کجا بدست خواهد آمد.

عنوان يك اصل، دبی حلال باید طوری انتخاب شود که فاكتور استخراج بین ۵/۰ تا ۸/۰ باشد. هدف اينستكه با طراحی برای نسبتهاي کاملا زیاد جريان حلال که منجر به هزینه های زیاد بازیافت ماده حل شونده ميشود، ستون استخراج مناسب بدست آيد.

استخراج حلال در ستونهاي پيوسته، يکی از مهمترین روشهاي جداسازی در مهندسي شيمي است. ستونهاي آکنده معمولا در اکثر عملياتهاي جداسازی نظير تقطير، جذب گاز، استخراج مایع - مایع و .... بكار برد ميشوند. ستونهاي استخراج مایع - مایع آکنده دارای كاربردهای مختلفی در صنعت هستند، مانند:

- عملياتهاي خالص سازی و بازیافت، نظير عمليات بازیافت فنل

- استخراج اسیدها، مانند استخراج اسید استيک

- مبدل‌های حرارتی: یک مایع سنگین و گرم بصورت قطره از بالا وارد ستون شده و در تماس با جریان مایع سبکتر و سردتر دوم، خنک می‌شود (که البته باید دو مایع در یکدیگر غیرقابل حل باشند)، نظیر آب و مشتقات نفتی.

از آنجاکه قطعات آکنده در ستون، باعث افزایش سرعت موضعی فاز پیوسته و نیز کاهش اختلاط معکوس در این ستونها شده و در عین حال توزیع فاز پراکنده و نیز ماند فاز پراکنده را با شکستن قطرات بزرگ و کنترل حرکت آنها بهبود بخشیده و سطح تماس وسیعتری را برای انتقال جرم مهیا می‌کنند، لذا استفاده از آنها حائز اهمیت بسیار است. بنابراین شبیه سازی نحوه رفتار این ستونها بمنظور پیش‌بینی چگونگی عملکردشان ارزشمند خواهد بود.

در فصل دوم این پژوهه به هیدرودینامیک ستونهای استخراج مایع - مایع آکنده پرداخته شده و روابط تئوریک موجود برای آنها مورد بررسی قرار گرفته است. همچنین تلاش شده تا در حد امکان روابط تجربی که توسط محققین برای ستونهای مختلف آکنده بدست آورده شده، ارائه گردد. همچنین فهرست جامعی از منابع مورد استفاده در تحقیقات انجام شده برای بدست آوردن این روابط تجربی ارائه گردیده است.

در فصل سوم، انتقال جرم در ستونهای مایع - مایع آکنده مورد بررسی قرار گرفته و ضمن ارائه روابط تئوریک موجود برای این ستونها، روابط تجربی مربوطه و منابع آنها گردآوری شده است که خود میتواند راهگشای تحقیقات بیشتر بمنظور ارائه روابط تجربی برای ستونهای مورد تحقیق باشد. در ادامه این فصل، مدلسازی یک ستون استخراج آکنده که هر دو فاز پیوسته و پراکنده آن دارای اختلاط محوری هستند انجام شده و نحوه حصول ضرایب اختلاط محوری برای هر دو حالت پایدار و ناپایدار نیز ذکر گردیده است.

نظر باینکه فاز پراکنده معمولاً بصورت قطره وارد این ستونها می‌شود، در فصل